

# Математическое моделирование

## Лабораторная работа № 2

---

Абдуллахи Шугофа

2026-02-22

## Содержание (i)

1. Введение
2. Теоретическая часть
3. Численный эксперимент
4. Параметрическое исследование
5. Заключение

## 1. 1. Введение



## 1.1 Цель исследования

Построить математическую модель задачи преследования и определить стратегию движения, обеспечивающую гарантированный перехват цели.

Рассматривается ситуация: в условиях тумана катер береговой охраны преследует лодку. После кратковременного улучшения видимости лодка фиксируется на расстоянии  $k$  км, затем снова исчезает и продолжает равномерное прямолинейное движение.

Скорость катера превышает скорость лодки в  $n$  раз. Требуется определить форму траектории катера, обеспечивающую встречу.

## 1.2 Задачи работы

1. Получить дифференциальную модель движения при соотношении скоростей  $n : 1$ .

## 1.2 Задачи работы

1. Получить дифференциальную модель движения при соотношении скоростей  $n : 1$ .
2. Исследовать два варианта начальных условий.

## 1.2 Задачи работы

1. Получить дифференциальную модель движения при соотношении скоростей  $n : 1$ .
2. Исследовать два варианта начальных условий.
3. По графикам определить точку перехвата.

## 2. 2. Теоретическая часть



## 2.1 Выбор системы координат

Положим  $t_0 = 0$  – момент обнаружения.

Примем: - положение лодки за начало координат, - расстояние между объектами равно  $k$ .

Переходим к полярной системе  $(r, \theta)$ : - полюс – точка обнаружения лодки, - ось  $r$  направлена к катеру.

## 2.2 Определение стартового радиуса

Пусть через время  $t$  расстояния до полюса сравняются и станут равными  $x$ .

Используя равенство времён движения и учитывая отношение скоростей  $n$ , получаем два варианта начальных условий:

- case = plus

$$r_0 = \frac{k}{n+1}, \quad \theta_0 = 0$$

Эти значения определяют момент перехода к управляемому «обходу» цели.

## 2.2 Определение стартового радиуса

Пусть через время  $t$  расстояния до полюса сравняются и станут равными  $x$ .

Используя равенство времён движения и учитывая отношение скоростей  $n$ , получаем два варианта начальных условий:

- case = plus

$$r_0 = \frac{k}{n+1}, \quad \theta_0 = 0$$

- case = minus

$$r_0 = \frac{k}{n-1}, \quad \theta_0 = -\pi$$

Эти значения определяют момент перехода к управляемому «обходу» цели.

## 2.3 Декомпозиция скорости катера

Полная скорость катера равна  $nv$ . Разложим её на составляющие:

- радиальная:

$$v_r = \frac{dr}{dt}$$

Из соотношения

$$(nv)^2 = v_r^2 + v_\tau^2$$

и условия  $v_r = v$  получаем

$$v_\tau = v\sqrt{n^2 - 1}.$$

## 2.3 Декомпозиция скорости катера

Полная скорость катера равна  $nv$ . Разложим её на составляющие:

- радиальная:

$$v_r = \frac{dr}{dt}$$

- тангенциальная:

$$v_\tau = r \frac{d\theta}{dt}$$

Из соотношения

$$(nv)^2 = v_r^2 + v_\tau^2$$

и условия  $v_r = v$  получаем

$$v_\tau = v\sqrt{n^2 - 1}.$$

## 2.4 Система уравнений движения

Таким образом,

$$\begin{cases} \frac{dr}{dt} = v, \\ r \frac{d\theta}{dt} = v\sqrt{n^2 - 1}. \end{cases}$$

Исключая параметр  $t$ , получаем уравнение траектории:

$$\frac{dr}{d\theta} = \frac{r}{\sqrt{n^2 - 1}}.$$

Решение данного уравнения представляет собой логарифмическую спираль.

### 3. 3. Численный эксперимент



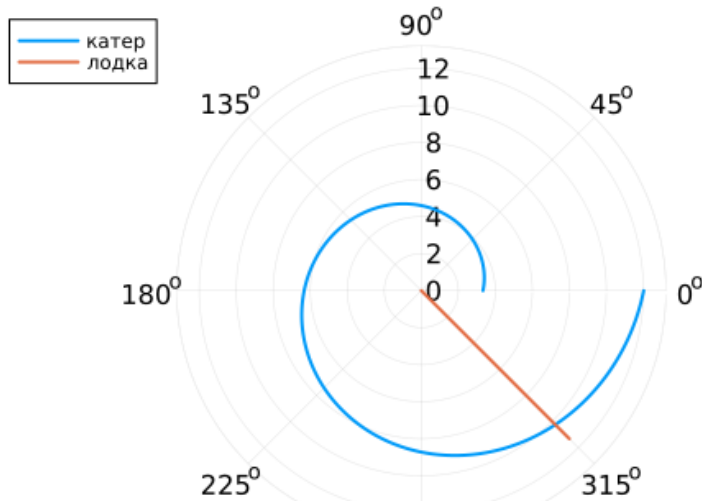
### 3.1 Исходные параметры

Для расчётов принято: -  $k = 20$  км, -  $n = 5$ .

Цель — визуализировать движение и определить точку пересечения траекторий.

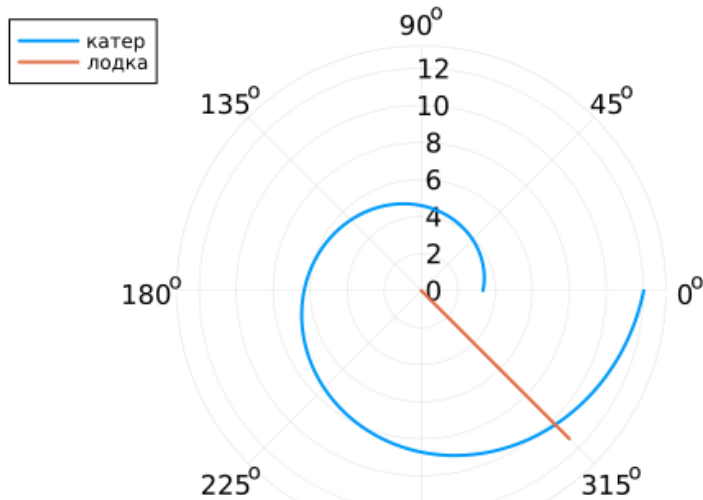
### 3.2 Базовый эксперимент: case = plus

#### Базовый эксперимент (case=plus)



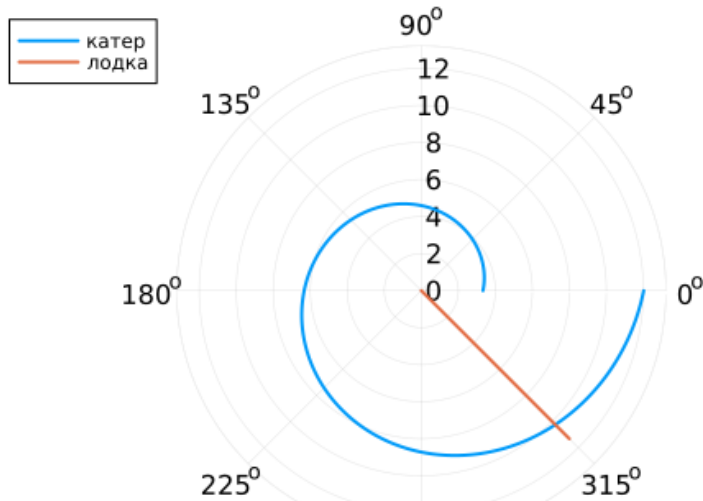
### 3.2 Базовый эксперимент: case = plus

#### Базовый эксперимент (case=plus)



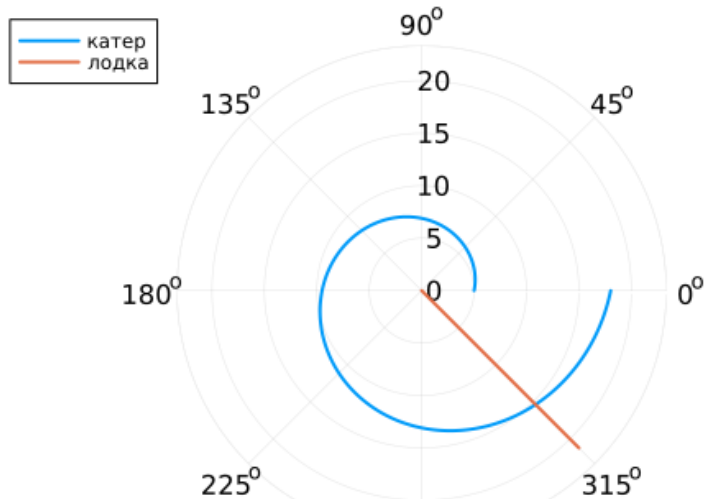
### 3.2 Базовый эксперимент: case = plus

#### Базовый эксперимент (case=plus)



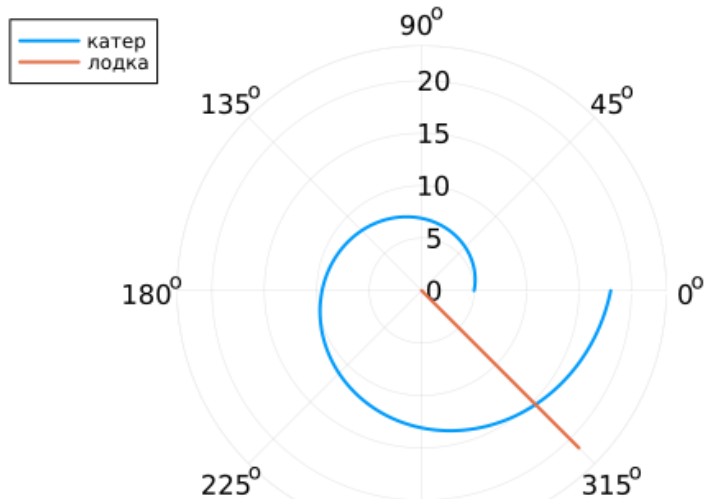
### 3.3 Базовый эксперимент: case = minus

#### Базовый эксперимент (case=minus)



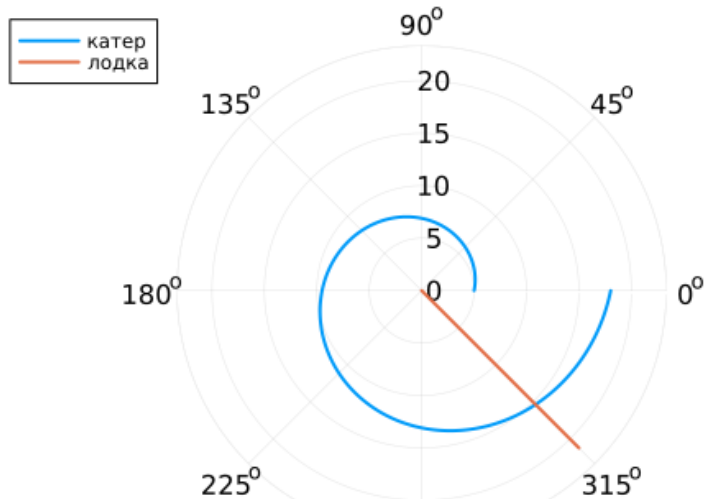
### 3.3 Базовый эксперимент: case = minus

#### Базовый эксперимент (case=minus)



### 3.3 Базовый эксперимент: case = minus

#### Базовый эксперимент (case=minus)

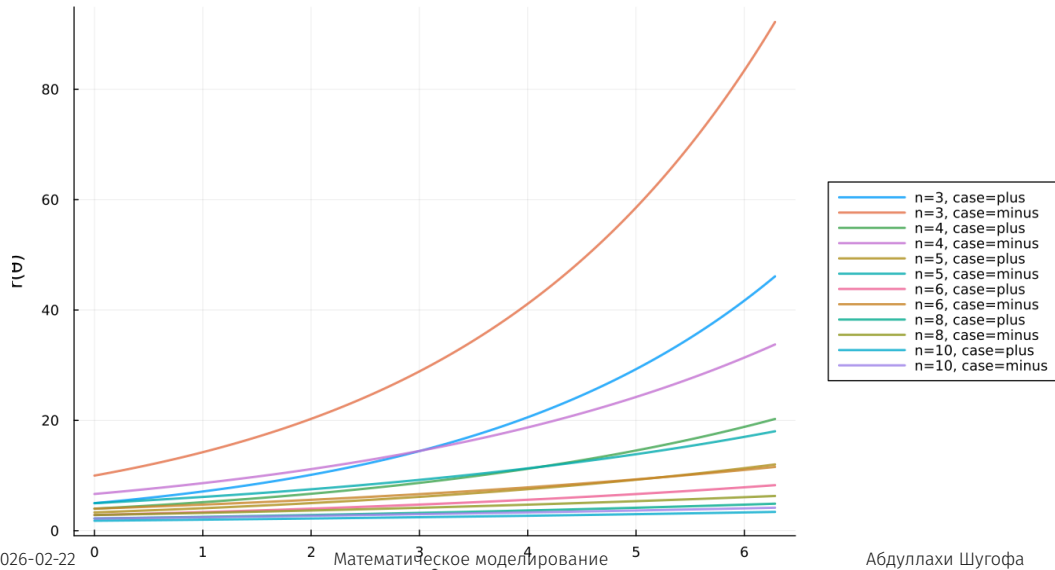


## 4. 4. Параметрическое исследование



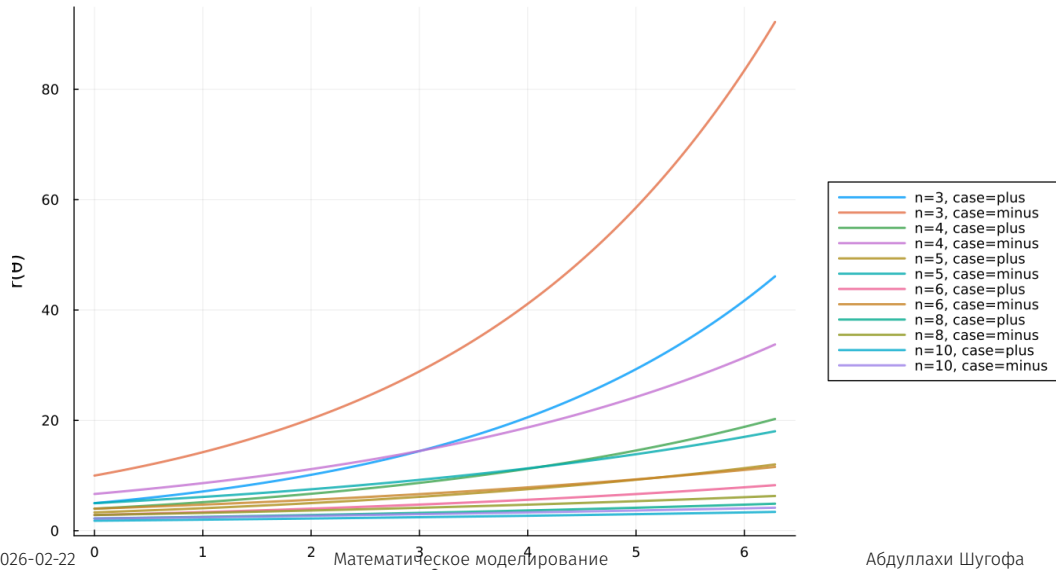
## 4.1 Влияние параметра $n$

Сканирование: траектории катера (ODE) при разных  $n$  и case



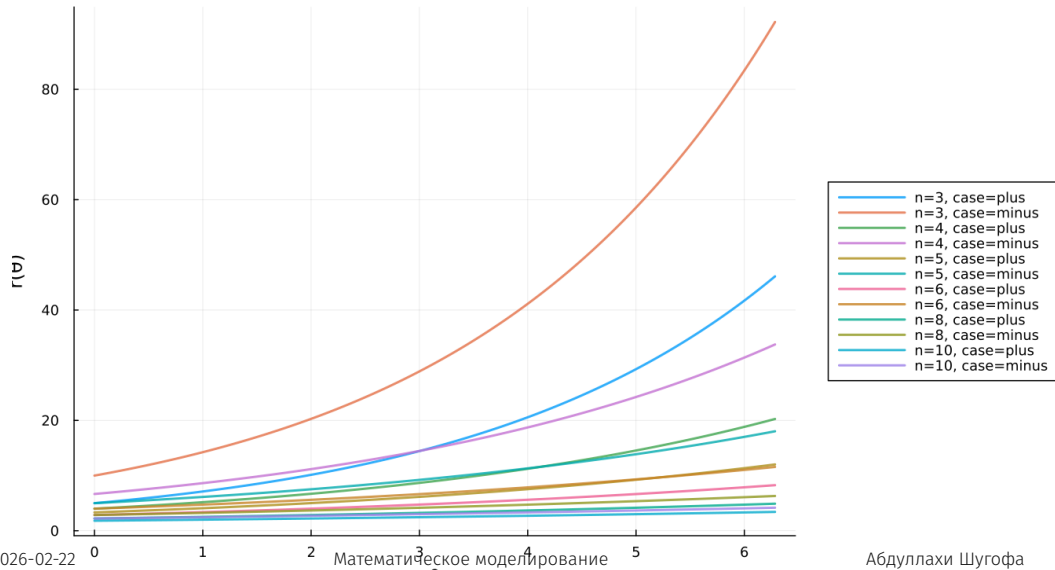
## 4.1 Влияние параметра $n$

Сканирование: траектории катера (ODE) при разных  $n$  и case



## 4.1 Влияние параметра $n$

Сканирование: траектории катера (ODE) при разных  $n$  и case

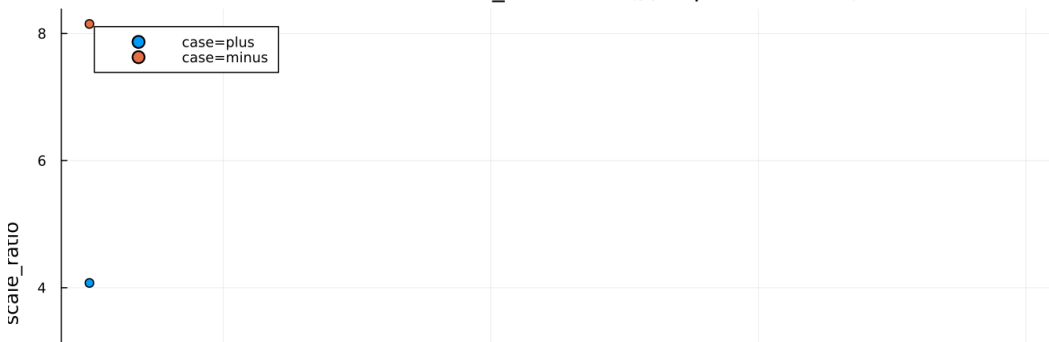


## 4.2 Относительный масштаб траекторий

Введём показатель:

$$\text{scale\_ratio} = \frac{r_{\text{final}}}{\max(r_{\text{boat}})}.$$

Зависимость scale\_ratio от n (для разных case)

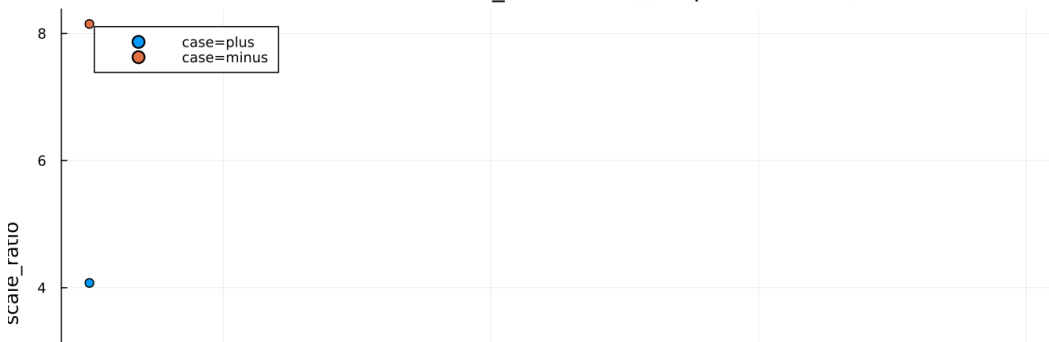


## 4.2 Относительный масштаб траекторий

Введём показатель:

$$\text{scale\_ratio} = \frac{r_{\text{final}}}{\max(r_{\text{boat}})}.$$

Зависимость scale\_ratio от n (для разных case)

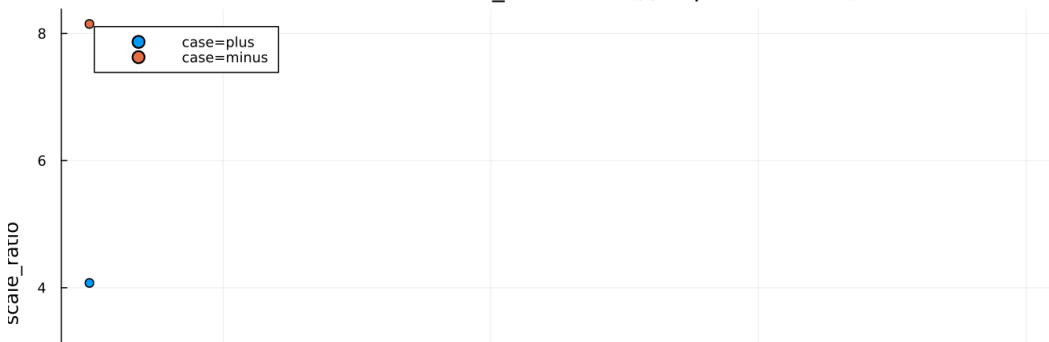


## 4.2 Относительный масштаб траекторий

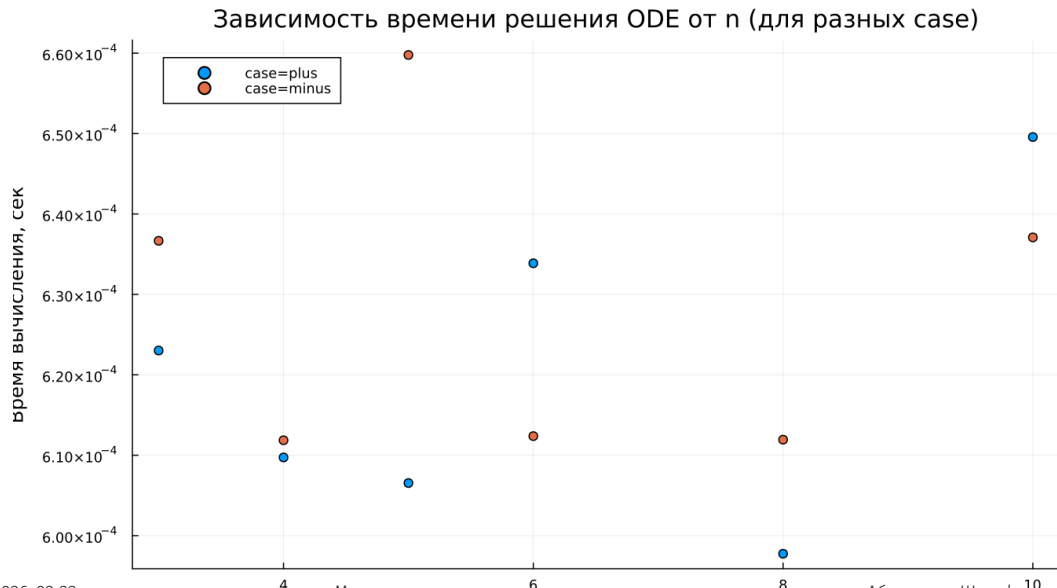
Введём показатель:

$$\text{scale\_ratio} = \frac{r_{\text{final}}}{\max(r_{\text{boat}})}.$$

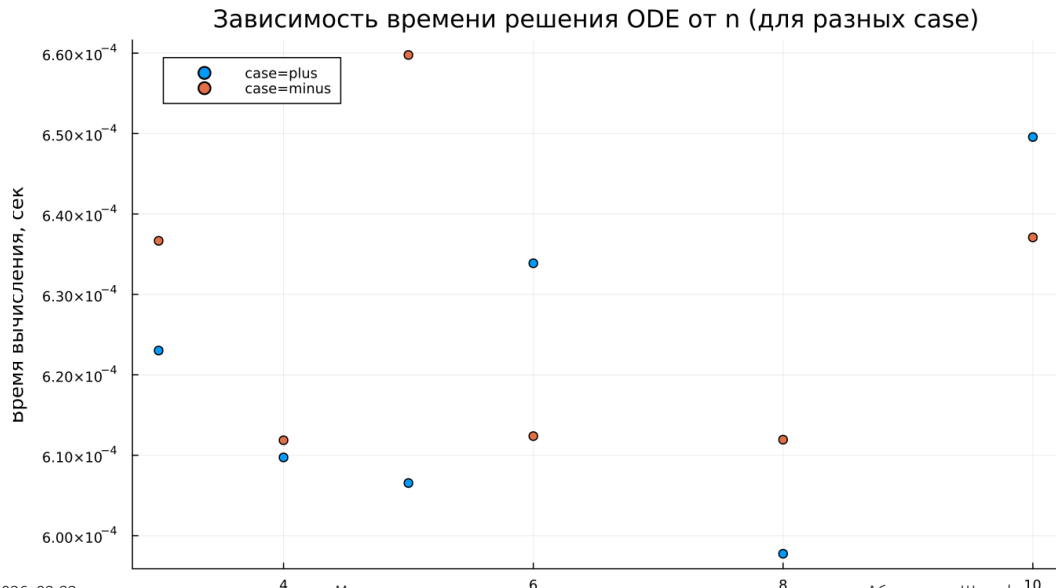
Зависимость scale\_ratio от n (для разных case)



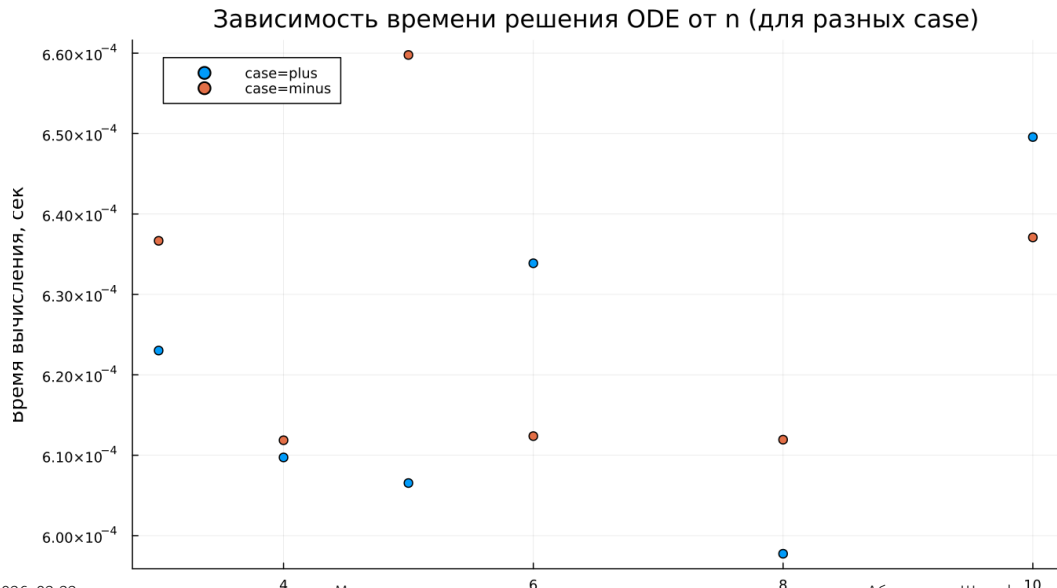
## 4.3 Временные характеристики вычислений



## 4.3 Временные характеристики вычислений



## 4.3 Временные характеристики вычислений



## 5. 5. Заключение

---

## 5.1 Основные выводы

1. Движение катера описывается логарифмической спиралью.

## 5.1 Основные выводы

1. Движение катера описывается логарифмической спиралью.
2. Параметр  $n$  регулирует интенсивность радиального роста.

## 5.1 Основные выводы

1. Движение катера описывается логарифмической спиралью.
2. Параметр  $n$  регулирует интенсивность радиального роста.
3. Начальные условия влияют на масштаб, но не изменяют форму траектории.

## 5.1 Основные выводы

1. Движение катера описывается логарифмической спиралью.
2. Параметр  $n$  регулирует интенсивность радиального роста.
3. Начальные условия влияют на масштаб, но не изменяют форму траектории.
4. Численная реализация демонстрирует устойчивость и малые вычислительные затраты.